АСТРОФИЗИКА

TOM 31

АВГУСТ, 1989

выпуск 1

УДК: 524.3—355

ТЕОРЕТИЧЕСКИЕ ПРОФИЛИ БАЛЬМЕРОВСКИХ ЛИНИЙ В СПЕКТРАХ ЭВЕЗД С ДВИЖУЩИМИСЯ ОБОЛОЧКАМИ С УЧЕТОМ СПЕКТРАЛЬНОЙ ЗАВИСИМОСТИ КОЭФФИЦИЕНТА ПОГЛОЩЕНИЯ ВОДОРОДА

М. А. ПОГОДИН

Поступила 20 июня 1988 Принята к печати 22 февраля 1989

Описывается метод построения теоретических профилей эмиссионных лимий в спектрах звезд с движущимися оболочками с учетом зависимости атомного коэффициента поглощения от частоты. Проводится сравнение результатов расчетов для фойгтовского, доплеровского и прямоутольного профилей ковффициента поглощения. Приводится примор построения профиля линии H_* для дисковой оболочки при ее различной ориентации относительно наблюдателя.

- 1. Введение. В предыдущей работе [1] были описаны методика и процедура построения теоретических профилей бальмеровских линий A_e/B_eзвезд, в оболочках которых присутствуют крупномасштабные движения. Считалось, что традиент скорости достаточно велик, и при расчетах использовались приближения, существенно упрощающие процедуры вычислений:
- 1) Для определения функций источников в линиях применялся вероятностный метод Соболева для движущихся сред [2].
- 2) Предполагалось, что профили эмиссионных линий полностью определяются распределением излучающего вещества по лучевым скоростям. При этом для их построения использовался прямоугольный профиль коэффициента поглощения водорода в линиях.

В работе была рассмотрена серия моделей оболочек с различным набором исходных параметров, описывающих особенности ее структуры и кинематики, а также основные характеристики звезды. Сравнение теоретических профилей линий $H_{\alpha-\gamma}$ с наблюдаемыми показало, что в ряде случаев можно добиться вполне удовлетворительного согласия.

Между тем существуют условия, когда рассматриваемая методика становится неприменимой или применимой лишь частично. Здесь можно выделить три случая:

1. Наиболее общий случай, когда а) либо оболочка непрозрачна в непрерывном спектре на частотах исследуемых линий, б) либо градиент скорости в оболочке недостаточно велик, чтобы выполнялись оба описанные выше условия, положенные в основу расчетов.

Тотда задача требует совместного решения уравнений стационарности для энергетических уровней и уравнения переноса излучения в линиях по-всей оболочке. Она достаточно сложна и требует специального рассмотрения, выходящего за рамки настоящей работы.

2. Градиент скорости еще недостаточно велик, чтобы можно было применять метод Соболева для расчета населенностей уровней, но уже слишком мал, чтобы на вид профилей линий не влиял реальный профиль коэффициента поглощения водорода.

Такая ситуация допустима, так как по оценкам ряда авторов (см., например, [3, 4]) второе условие оказывается существенно жестче первого.

3. Градиент скорости в оболочке анизотропен. Он велик в одних направлениях (например, в направлении на возбуждающую звезду), и для построения распределений населенностей уровней и функций источников в линиях можно использовать метод Соболева. Но он мал в направлении на наблюдателя, и видимые профили линий будут определяться как распределением излучающего газа по лучевым скоростям, так и профилем коэффициента поглощения в линиях.

Примером такого случая может быть вращающаяся дисковая оболочка, обращенная к наблюдателю полюсом.

В настоящей работе сделана попытка распространить нашу методику расчетов, описанную в [1], на II и III случаи, существенно расширив, таким образом, область ее применения. При этом часть программы, относящаяся к расчетам населенностей, осталась без изменения, а в программе построения профилей был предусмотрен учет спектральной зависимости коэффициента поглощения водорода в бальмеровских линиях.

2. Отличительные особенности программы расчетов. Следует отметить, что подобная методика уже использовалась различными авторами. Например, в работах Берту [5] и Ламерса и др. [6] построение профиля эмиссионной линии осуществлялось так же, как и у нас, путем численного интегрирования по объему оболочки согласно точным формулам переноса излучения в линии, а использованное при этом распределение функции источника и непрозрачности в линии определялось предварительно по методу Соболева. В обеих работах представлены результаты, относящиеся к двухуровенному атому, имеющему доплеровский профиль коэффициента поглощения в линиях. Были рассмотрены модели расширяющихся оболочек, в которых скорость истечения увеличивается при удалении от центра.

Эти особенности делают результаты Берту и Ламерса наиболее пригодными для интерпретации характеристик резонансных линий различных элементов в оболочках звезд большой светимости, которые наблюдаются главным образом в УФ-диапазоне.

В нашей программе производятся расчеты для атома водорода с учетом 12 энергетических уровней. Представлены результаты для моделей оболочек, расширяющихся с замедлением. Основная область применения программы — интерпретация особенностей профилей бальмеровских линий в спектрах A_e/B_e -звезд средней массы и светимости, к которым относятся, в частности, молодые звезды Хербига [7].

В наших расчетах иопользовался фойттовский профиль ковффициента поглощения в линиях, состоящий из доплеровского ядра и лоренцевских крыльев, которые могут оказывать значительное влияние на вид профиля линии при большой оптической толщине оболочки. Еще в 60-х годах Боярчук [8] отмечал, что широкие крылья эмиссионных бальмеровских линий в спектрах классических Ве-звезд обусловлены, по-видимому, излучением оболочки в крыльях затухания ковффициента потлощения водородного атома, тде она становитоя прозрачной.

В работе на примере конкретных моделей оболочки приводится сравнительный анализ теоретических профилей линии H_{α} , построенных для разных типов профилей коэффициента поглощения водорода (фойгтовский, доплеровский и прямоугольный). В качестве характерного примера применения программы показаны профили линии H_{α} , рассчитанные для дисковой оболочки, наблюдаемой с полюса и с ребра.

3. Метод расчета профилей. Первый этап расчетов, связанный с определением степени ионизации и населенностей энергетических уровней по всей оболочке, описан в работе [1]. Он предполагает решение системы уравнений стационарности для 12 первых уровней с учетом всех радиационных и столкновительных процессов перехода атома в другие энергетические состояния. Входными шараметрами являлись: распределение энергии в спектре эвезды при данной эффективной температуре $T_{\rm эфф}$, электронная температура оболочки $T_{\rm e}$, поле скоростей крупномасштабного движения v(r) и распределение плотности водородных атомов N(r). Как уже отмечалось, вероятности выхода квантов в линиях, входящие в уравнения стационарности, определялись по вероятностному методу Соболева, а функция источника для полного перераспределения по частотам внутри линии выражалась через населенности i-го уровней (j>i) по формуле:

$$S_{ij} = \frac{2hv^3}{c^2} \left(\frac{N_i g_j}{N_j g_i} - 1 \right)^{-1}, \tag{1}$$

где g_i и g_j — статистические веса уровней i и j.

Полученное на первом этапе расчетов распределение населенностей

 $N_t(r)$ для первых энергетических уровней являлось исходным материалом для последующего построения профилей бальмеровских линий оболочки.

В системе отсчета, связанной со звездой, неподвижной относительно наблюдателя, вводилась цилиндрическая система координат (φ , ρ , z). где ось аппликат z ориентировалась вдоль луча зрения, а множество (φ , ρ , 0) представляло собой картинную плоскость, проходящую через центр звезды.

В этом случае интенсивность излучения оболочки на частоте у в линии будет:

$$I_{\gamma} = \int_{(\overline{\gamma}, \, \rho)} ds \cdot I_{\gamma}(\varphi, \, \, \rho), \tag{2}$$

где ds — элемент площади на картинной плоскости, а

$$J_{\nu}(\varphi, \varphi) = I_{\nu}^{0} e^{-\int_{z_{n}}^{z_{n}} z_{\nu+\Delta \nu} dz} + \int_{z_{n}}^{z_{n}} S \cdot \alpha_{\nu+\Delta \nu} \cdot e^{-\int_{z_{n}}^{z_{n}} z_{\nu+\Delta \nu} dz} dz, \qquad (3)$$

где z_0 и z_k — начальное и конечное пересечение осью z границ оболочки для данной пары $(\varphi, \, \rho)$; $I_*^0 = I_*^0(\varphi, \, \rho)$ — начальная интенсивность при $z = z_0$ ($I_*^0 = 0$ при $\rho > R_*$ и $I_*^0 = I_*^*$ при $\rho \leqslant R_*$, где I_*^* — интенсивность излучения звезды на частоте ν , зависящая от фотосферного профиля линии); $S = S(\varphi, \, \rho, \, z)$ — функция источника; $\alpha_{\nu+1}$, — коэффициент поглощения на единицу объема на частоте $\nu + \Delta \nu$, зависящий также от координат $(\varphi, \, \rho, \, z)$; $\Delta \nu = \Delta \nu (\varphi, \, \rho, \, z) = \nu_0 (1 + \upsilon_z/c)$ — доплеровское смещение по частоте в зависимости от лучевой скорости $\upsilon_z = \upsilon_z (\varphi, \, \rho, \, z)$; ν_0 — центральная частота рассматриваемой линии.

Объемный коэффициент поглощения а можно представить как

$$\alpha_{v} = k_{v} N_{i} \left(1 - \frac{q_{i}}{g_{j}} \cdot \frac{N_{j}}{N_{i}} \right) \cdot \tag{4}$$

Атомный коэффициент по предположению имеет фойттовский профиль:

$$k_{\bullet} = \begin{cases} -\left(\frac{\sqrt{-\nu_{0}}}{\Delta\nu_{T}}\right)^{2}, & \text{если } \nu - \nu_{0} | \leq 3\Delta\nu_{T} \text{ (доплеровское ядро)} \\ k_{0} \frac{a}{V^{\frac{1}{n}}} \left(\frac{\nu - \nu_{0}}{\Delta\nu_{T}}\right)^{-2}, & \text{если } |\nu - \nu_{0}| \geqslant 3\Delta\nu_{T} \text{ (крылья затухания),} \end{cases}$$
 (5),

где $\Delta v_T = v_0 v_T/c$; v_T — тепловая скорость для электронной температуры T_e в оболочке, a— константа для данной линии при заданной T_e , выражаемая через вйнштейновские коэффициенты перехода (при плотностях $N_e \sim 10^{11} \div 10^7$, характерных для рассматриваемых моделей оболочки, эффектами давления можно пренебречь); K_0 определяется из нормировки:

$$\int_{0}^{\pi} k_{\nu} d\nu = \frac{h\nu_{0}}{4\pi} B_{ij}, \qquad (6)$$

тде B_{ij} — эйнштейновский коэффициент радиативного перехода $(i \rightarrow j)$, \mathbb{Z} Для численного вычисления интегрального выражения (3) весь диапавон эначений z от z_0 до z_k разбивается на N интервалов $\Delta z_i = z_i - z_{i-1}$, i = 1, 2, ..., N. Было сделано предположение, что в пределах каждого такого интервала значения S и α_i не изменяются и равны соответственно S_i и α_i (v).

Тогда интегральная формула (3) может быть легко преобразована к виду:

$$I_{\nu}(\varphi, \varphi) = I_{\nu}^{N} e^{-\sum_{i=1}^{N} \Delta z_{i} \alpha_{i} (\nu + \Delta \nu_{i})} + \sum_{i=1}^{N} S_{i} e^{-\sum_{j=i+1}^{N} \Delta z_{j} \alpha_{j} (\nu + \Delta \nu_{j})} + e^{-\Delta z_{i} \alpha_{i} (\nu + \Delta \nu_{i})},$$
(7)

TAE $\Delta v_i = \Delta v (\varphi, \varphi, z)$.

Если же вместо пределов интегрирования z_0 и z_k подставить значения z_{i-1} и z_i , то получится дифференциальная формула, описывающая перенос излучения в линии при одном шаге сканирования по z:

$$I_{\nu}(\varphi, \varphi, z_{i}) = I_{\nu}(\varphi, \varphi, z_{i-1})e^{-\Delta z_{i}\alpha_{i}(\nu + \Delta \nu_{i})} + S_{i}(1 - e^{-\Delta z_{i}\alpha_{i}(\nu + \Delta \nu_{i})}).$$
 (8)

Нетрудно показать, что последовательное иопользование рекуррентной формулы (8), когда i проходит значения от 1 до N, приводит к интегральному выражению (7).

В наших расчетах непосредственно использовалась дифференциальная формула (8). Весь диапавон частот, на котором рассматривалась линия, разбивался на 120 равных интервалов $\Delta v_k = v_k - v_{k-1} = \Delta v_T$. Профиль ковффициента поглощения водорода задавался в виде массива, содержащего 39 значений k_l , где k_{20} соответствовал центральной частоте линии v_0 , а $l = 20 + [(v - v_0)/\Delta v_T + 0.5 (v - v_0)/|v - v_0|]$. В области доплеровского ядра (l = 17 + 23), где очень сильна зависимость k_v от v_0 значения k_l , как и в работе Берту [5], определялись как средние для соответствующего интервала Δv_l :

$$k_{l} = \frac{\sqrt{\pi}}{2} \left(erf\left(l - \frac{1}{2}\right) - erf\left(l + \frac{1}{2}\right) \right)$$
 (9)

В области лоренцевских крыльев k_l рассчитывался непосредственно по формуле (6) для $v = v_l$.

На каждом l-м шаге сканирования вдоль оси z осуществлялось преобразование массива $I_{i_k}(\varphi, \rho, z_{i-1}) \equiv I_{k, l-1}$ в массив $I_{k, i}$ по формуле (8):

$$I_{k,i} = I_{k,i-1} e^{-\Delta x_i \cdot \alpha_{l,k+2k}} + S_i (1 - e^{-\Delta x_i \cdot \alpha_{l,k+2k}}), \tag{10}$$

rae $\alpha_{k,k+\perp k} = \alpha_{k} (\nu_{k} + \Delta \nu), \Delta k [\Delta \nu / \Delta \nu_{T} + 0.5 \Delta \nu / |\Delta \nu].$

После интегрирования массива $\{I_{\nu_k}\}$ по картинной плоскости (ϕ, ρ) и нормировки к интенсивности излучения звезды в непрерывном спектре на центральной частоте v_0 , получался теоретический профиль линии.

Особое внимание было уделено вопросам оптимального выбора: а) величины шага Δz_i и количества шагов N при сканировании вдоль оси z; б) числа L — количества значений k_i , описывающих профиль атомного коэффициента поглощения.

Величина каждого шага сканирования Δz_i должна была соответствовать следующим условиям: а) $|v_{i}(z_i)-v_{i}(z_{i-1})|\ll \frac{\Delta v_{k}\cdot c}{v_{0}}$ —в противном случае профиль линии утрачивал гладкость и напоминал "пилу"; б) $\Delta z_i < r_{\text{хир}}$ — характерного размера изменения физических условий (конкретно S и α_i) в оболочке. Поскольку величина $\frac{dv_{i}}{dz}$ может изменяться в оболочке в весьма значительных пределах, то на каждом шаге приходилось выбирать Δz_i в зависимости от конкретной кинематики и координат (φ, ρ, z) . Для ряда моделей были рассчитаны профили линий при разных значениях N и Δz_i . Величина шага Δz_i задавалась формулой:

$$\Delta z_i = a \cdot \min \left(\Delta v_T \left(\frac{dv_*}{dz} \right)^{-1}; \ R_* \right)$$
 (11)

Для каждой модели определялось наибольшее значение a, начиная с которото результаты расчетов при дальнейшем уменьшении a совпадали с точностью до 5%. Так, например, для модели оболочки, расширяющейся со скоростью $v(r) = V_0 (r/R_*)^{-1/2}$, оптимальными оказались значения: a = 1/4, $N \approx 100$ для $V_0 = 100$ км/с и a = 1/8, $N \approx 300$ для $V_0 = 500$ км/с.

Аппроксимация фойгтовского профиля атомного коэффициента поглощения ступенчатой функцией с 39 значениями k_l также оказалась достаточной. Во всех случаях увеличение числа ступеней L с 39 до 79 (каждая шириной $\Delta v_r/2$) практически не меняло результатов расчета.

Расход машинного времени на ЭВМ ЕС-1033 при расчете профилей трех линий $H_{\alpha,\beta,\gamma}$ для модели чисто расширяющейся оболочки при оптимальном выборе шагов сканирования по ρ и по z составлял, как правило, $5 \div 10$ минут.

4. Влияние вида профиля атомного ковффициента поглощения на результаты расчетов. На рис. 1, 2 показаны профили эмиссионной линии H_{α} , построенные для некоторых кинематических моделей оболочки и разных видов спектральной зависимости атомного ковффициента k_{α} . Для сравнения были использованы фойттовский, доплеровский и прямоугольный профили.

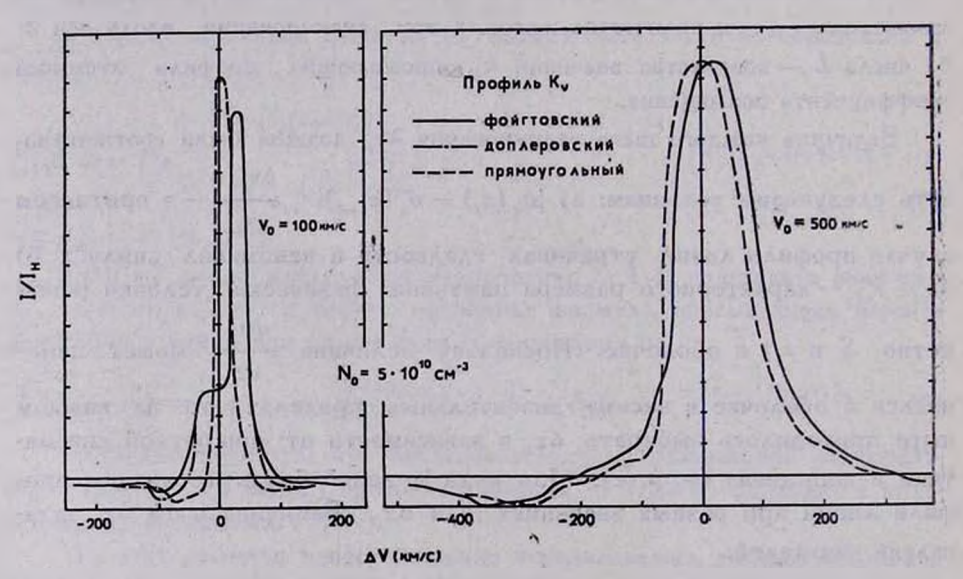
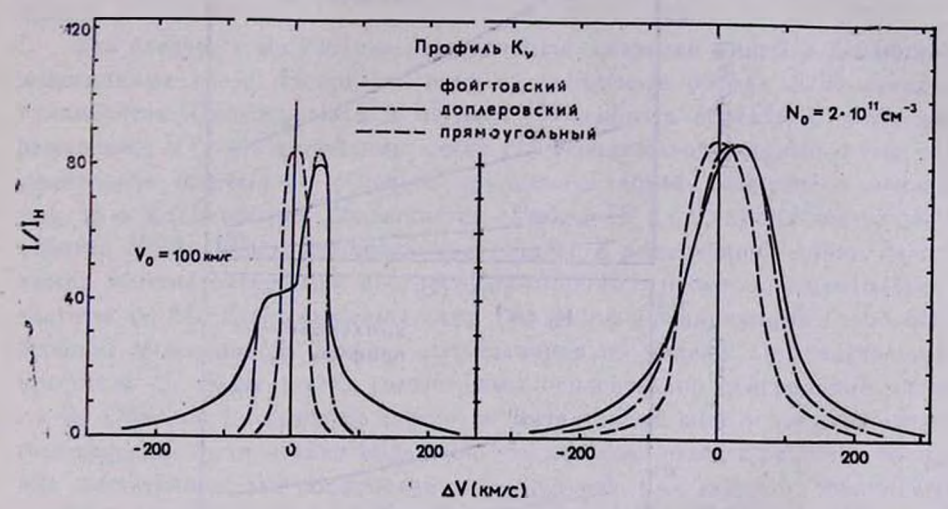


Рис. 1. Теоретические профили линии H_{α} для сферически-симметричней расширяющейся оболочки звезды класса A0, рассчитанные для модели: $T_{a}=10^{\circ}$, $v\left(r\right)=V_{0}\left(R_{\bullet}/r\right)^{1/2}$, $N\left(r\right)=N_{0}\left(R_{\bullet}/r\right)^{3/2}$, $N_{0}=5\cdot10^{10}$ см $^{-3}$. Использованы различные зависимости атомного коэффициента k_{v} от v.

Для примера были рассмотрены модели оболочки, расширяющейся со скоростью $v(r)=V_0\,(R_*/r)^{0.5}$ и, соответственно, с распределением плотности $N(r)=N_0\,(R_*/r)^{1.5}$. При этом параметры принимали значения: $V_0=100$ и 500 км/с и $N_0=10^{10}$ и $5\cdot10^{10}$ см $^{-3}$.

Как видно на рисунках, различия профилей линии весьма велики при $V_0=100~{\rm km/c}$, они уменьшаются с ростом скорости, но еще заметны при $V_0=500~{\rm km/c}$. Наиболее характерной особенностью профилей линий, рассчитанных с учетом спектральной зависимости $k_{\rm v}$, является смещение центральной и длинноволновой частей профиля в красную сторону. Этот вффект сохраняется даже при больших скоростях расширения. Некоторые дополнительные детали, заметные в коротковолновой части профиля, возникают в результате особенностей вкранировки одних излучающих частей оболочки другими. Они являются признаком определенных кинематических моделей и постепенно исчезают при увеличении градиента скорости в оболочке.



 $P_{\rm HC}$. 2. То же, что рис. 1 для $N_0=2\cdot 10^{11}~{\rm cm}^{-3}$.

Сравнение профилей, рассчитанных для доплеровской и фойгтовской зависимостей k_{\star} , показывает, что при значениях начальной плотности $N_0 = 10^{10}~{\rm cm}^{-3}$ различий практически нет; в фойттовском профиле оказывается существенным только доплеровское ядро. С увеличением плотности N_0 до $5\cdot 10^{10}~{\rm cm}^{-3}$ влияние крыльев затухания становится заметным для $V_0 = 100~{\rm km/c}$, а при $N_0 = 2\cdot 10^{11}~{\rm cm}^{-3}$ различия будут существенны уже при любых значениях V_0 . Изменение профиля линии за счет появления дополнительной эмиссии в крыльях затухания становится эффективным, когда оптическая толщина оболочки на этих частотах приближается к единице. Это соответствует толщине на центральной частоте линии порядка 10^3-10^4 . Эффект будет тем заметнее, чем больше плотность газа и меньше средний традиент скорости в оболочке.

При втом происходит также увеличение внергии, излучаемой в линии, по сравнению с профилем, рассчитанным для k_{\perp} прямоутольного вида. На

рис. З показаны избытки эквивалентной ширины линии H_a для уже рассмотренной модели с доплеровским и фойстовским профилями k_a при разных значениях N_0 и V_0 . Для больших плотностей и малых скоростей крупномасштабного движения они становятся весьма значительными. В подобных условиях использование метода Соболева для вычисления вероятностей выхода кванта в линии, как это описано в работе [1], приводит к их заведомо заниженным значениям. В этом случае требуется уже более точ-

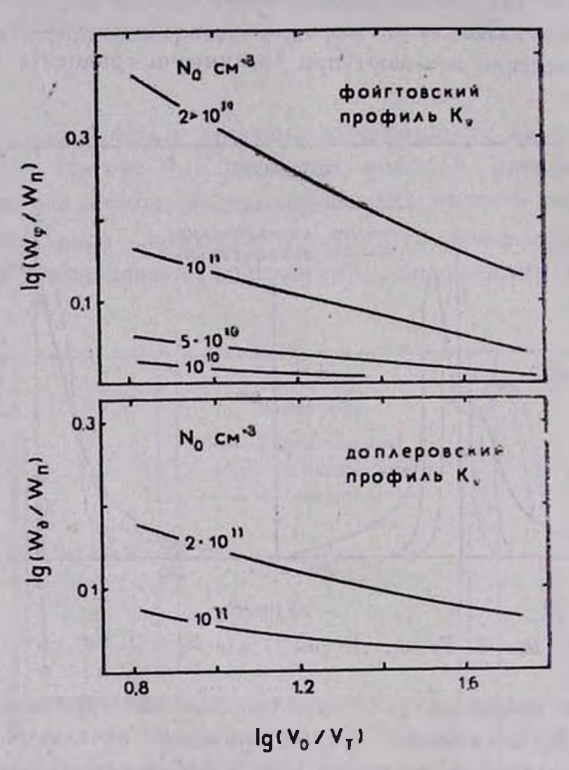


Рис. 3. Увеличение эквивалентной ширины эмиссионной линии H_z , рассчитанной для фойгтовского (W_q) и доплеровского (W_q) профиля k_v по сравнению со значениями, полученными при прямоугольном профиле k_v (W_q), в зависимости от параметров модели V_0 и N_0 .

ный метод для расчета населенностей уровней и функций источников. Но большинство наших моделей, которые могут использоваться для интерпретации наблюдаемых профилей эмиссионных линий у A_e/B_e -эвезд по характерным значениям N_e и градионта скорости, оказываются в области применимости метода Соболева для расчета населенностей уровней (величина $\log W_e/W_u \leqslant 0.05$).

5. Применение метода расчета профилей линий для интерпретации наблюдений. Как показывает сравнительный анализ результатов расчетов,
профили линий оболочки оказываются очень чувствительными к задаваемой спектральной зависимости атомного коффициента поглощения. Эффекты, связанные с видом профиля этого коффициента, остаются весьма
существенными даже для больших характерных скоростей (до нескольких
десятков v_T) в широком диапазоне исходных параметров моделей, соответствующих реальным характеристикам оболочек. Повтому в большинстве
случаев для интерпретации наблюдаемых особенностей линий у звезд с
оболочками, независимо от ожидаемой кинематики, следует использовать
модели с доплеровским и фойгтовским профилями коффициента поглощения.

Это следует и из анализа наблюдаемых профилей линий у различных эмиссионных звезд. Например, если из известного обзора Ае/Вс-звезд в туманностях Финкенцеллера и Мундта [7] выбрать объекты с резко выраженными Р Суд-профилями линии Н, (свидетельствующими о том, что радиальное истечение — основное крупномасштабное движение в оболочке), то в подавляющем большинстве случаев (8 из 9, кроме пекулярного объекта MWC 1080), максимум интенсивности эмиссионной линии оказывается заметно смещенным в «красную» сторону относительно центральной частоты 00. Нетрудно показать, что для чисто расширяющейся оболочки вершина вмиссионной линии, рассчитанная по модели с прямоугольным профилем $k_{\rm u}$, будет всегда симметрична относительно центральной частоты vo. Объяснить «красный сдвиг» вершины линии может введение осевого вращения в кинематику оболочки. Но, как показывают расчеты, вращение, достаточное для объяснения такого сдвига, уже заметно повлияет на профиль коротковолновой абсорбционной детали в Р Суд-структуре линии, что, однако, не наблюдается. Между тем, как обсуждалось выше, подобные смещения профилей эмиссионных линий являются всеобщим обязательным признаком теоретических профилей, построенных с учетом опектральной зависимости k. Таким образом, это наблюдаемое явление может быть интерпретировано в рамках модели оболочки с чистым расширением.

Но наиболее широкая, ранее не затрагиваемая область применения новой программы расчетов — вто построение профилей дисковых вращающихся оболочек, при всем их многообразии формы, структуры, особенностей кинематики и ориентации относительно наблюдателя. В настоящее время эта модель является наиболее общепринятой для большинства типов звезд с оболочками.

 H_a рис. 4 показаны теоретические профили линии H_a для модели дисковой оболочки при различной ее ориентации относительно наблюдателя. Параметры использованной модели: звезда A0, дисковая оболочка, вра-

щающаяся с постоянной линейной скоростью $v_{\rm sp}=400$ км/с и расширяющаяся с $v_{\rm p}=300\left(\frac{R_{\bullet}}{r}\right)^{1/2}$ км/с, начальная плотность $N_{\rm 0}=3\cdot 10^{11}$ см $^{-3}$, изменение плотности поперек диска N(z)=N(0) ехр $(-z/R_{\bullet})$, где ось z параллельна оси вращения.

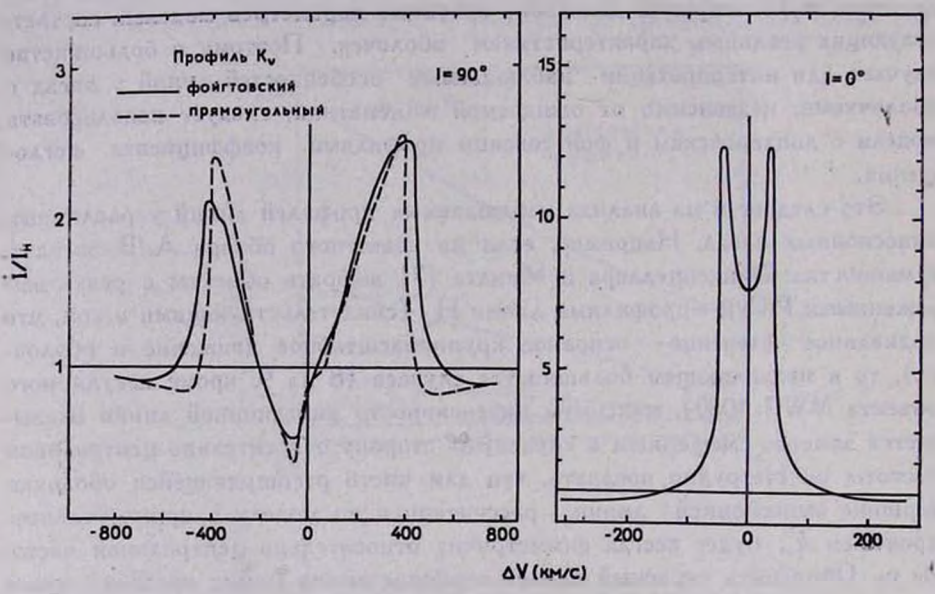


Рис. 4. Теоретические профили линии H_a для модели дисковой вращающейся и расширяющейся оболочки при различном угле наклона оси вращения t к лучу зрения. Параметры модели: A0, $T_a=10^4$, $v_{\rm paom}=300\,(R_{\bullet}/r)^{1/2}$ км/с, $v_{\rm ap}=400$ км/с, $N\left(r,\,z\right)=N_0\left(\frac{R_{\bullet}}{r}\right)^{3/2}$ ехр $\left(-\frac{z}{R_{\bullet}}\right)$, z— расстояние от экваториальной плоскости диска.

Новая программа дает возможность также рассчитывать профили эмиссионных линий, возникающих в периферийных областях аккреционных дисков,— объектов, привлекающих к себе в последнее время наиболее пристальное внимание исследователей.

Главная астрономическая обсерватория АН СССР

THEORETICAL BALMER LINE PROFILES IN THE SPECTRA OF STARS WITH MOVING ENVELOPES TAKING INTO ACCOUNT THE SPECTRAL DEPENDENCE OF HYDROGEN ABSORBTION COEFFICIENT.

M. A. POGODIN

A method for construction of emission line theoretical profiles in the spectra of stars with moving envelopes is described taking into account the frequency dependance of the atomic absorbtion coefficient. A comparison of the results of culculations is made for Faugt, Doppler and restangular profiles of the absorbtion coefficient. An example of a construction of the H_a profile of a disk envelope for its different orientations relative to the observer is presented.

ЛИТЕРАТУРА

- 1. М. А. Погодин, Астрофизика, 24, 491, 1986.
- 2. В. В. Соболев, Движушиеся оболочки звезд, ЛГУ, Л., 1947.
- 3. W. R. Hamman, Astron. and Astrophys., 93, 353, 1981.
- 4. Н. Н. Чугай, Письма в Астрон. ж., 6, 166, 1980.
- 5. C. Bertout, Astrophys. J., 285, 269, 1984.
- H. J. G. L. M. Lumers, M. Cerruti Sola, M. Perinotto, Astrophys. J., 314, 726, 1987.
- 7. U. Finkenzeller, R. Mundt, Astron. and Astrophys. Suppl. Ser., 55, 109, 1984.
- 8. A. A. Боярчук, Вопросы космогонии, 7, 231, 1960.